

圖 4.1 攪拌槽的幾何外型

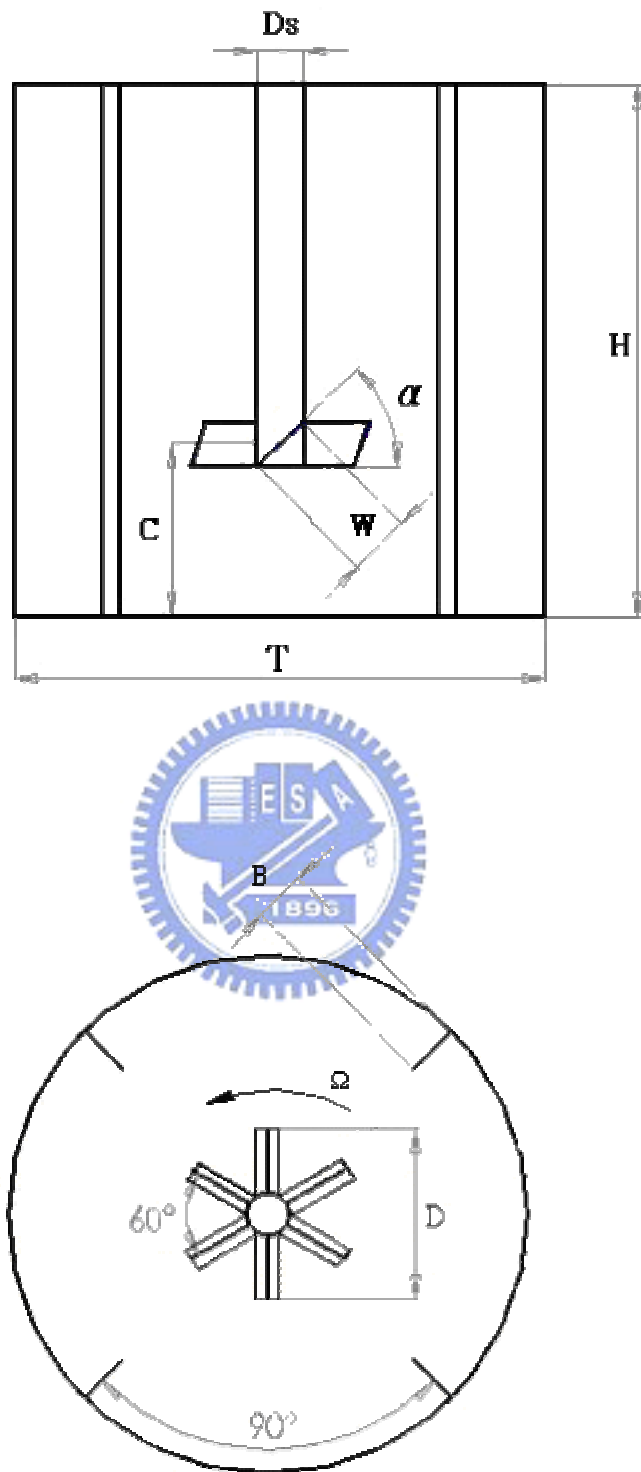


圖 4.2 攪拌槽的幾何尺寸

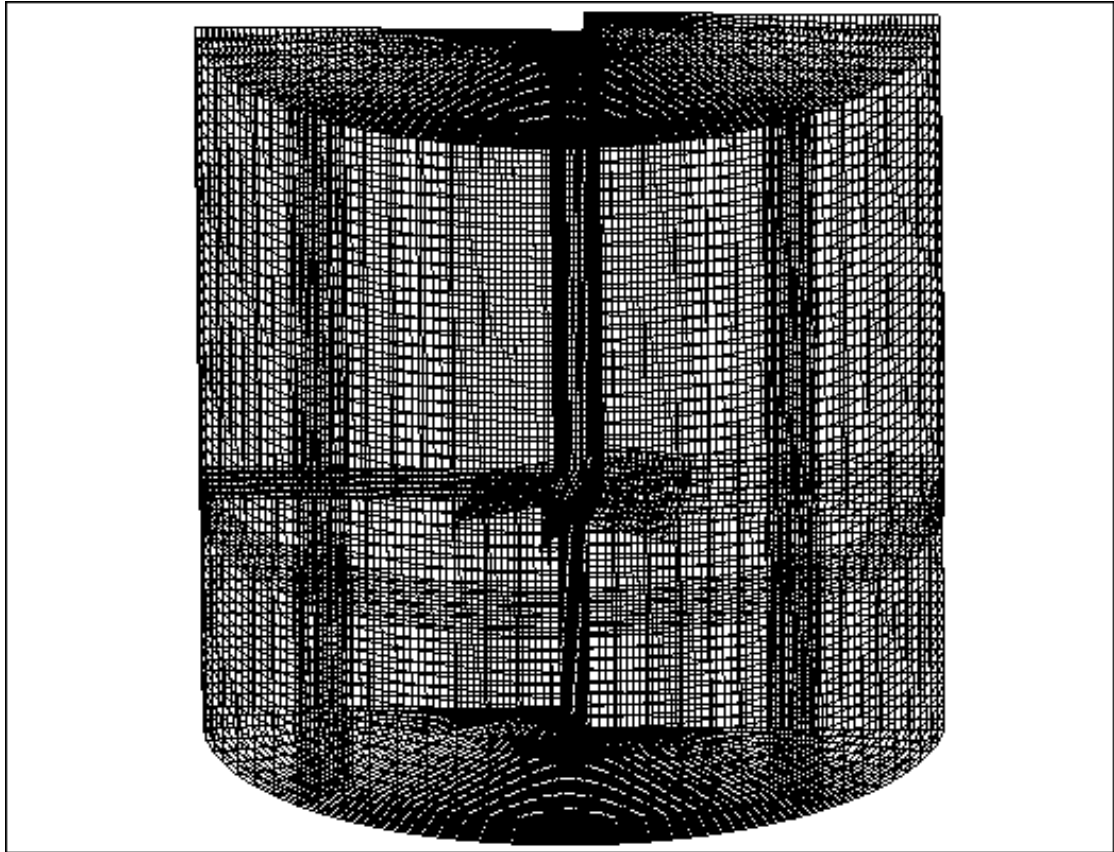


圖 4.3 計算網格

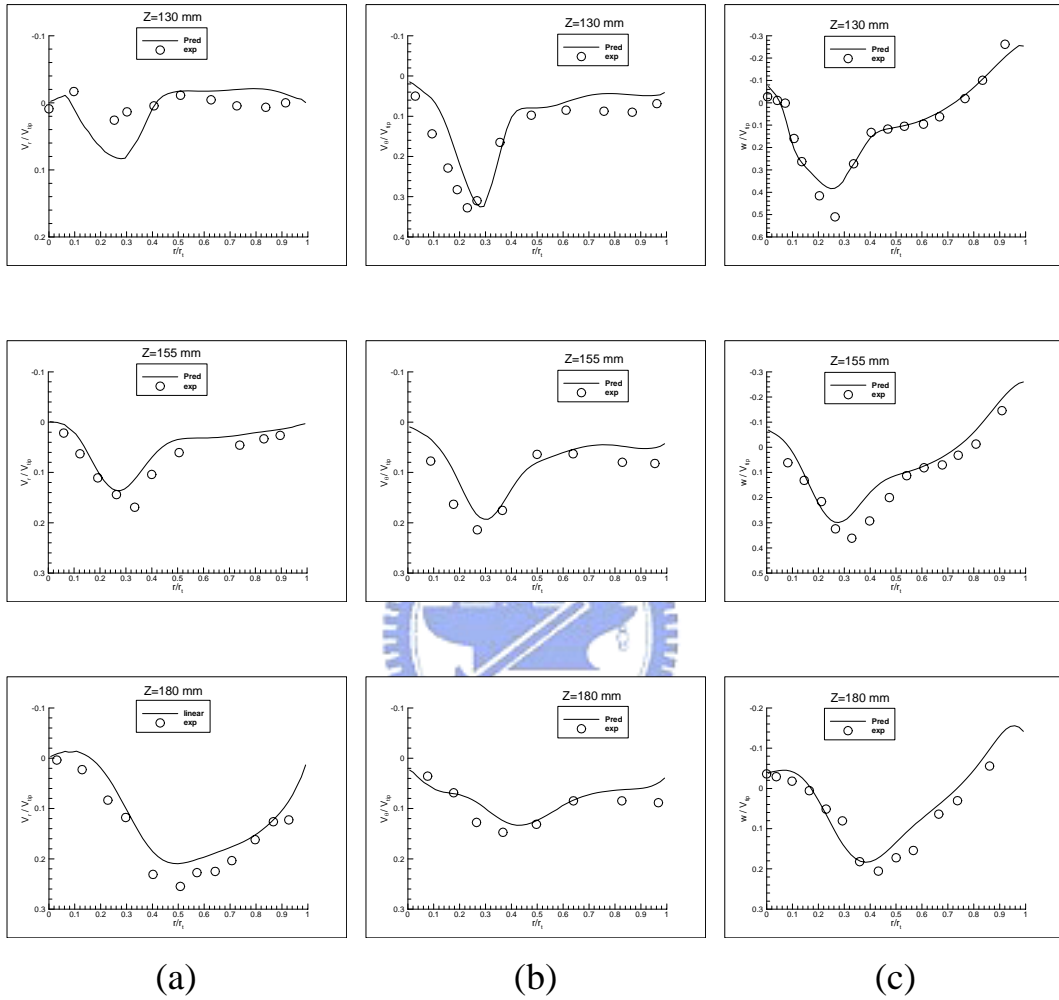


圖 4.4 速度場的徑向分佈($C=T/3$, $D=T/3$, $\alpha=45^\circ$)

(a) V_r / V_{tip} (b) V_θ / V_{tip} (c) W / V_{tip}

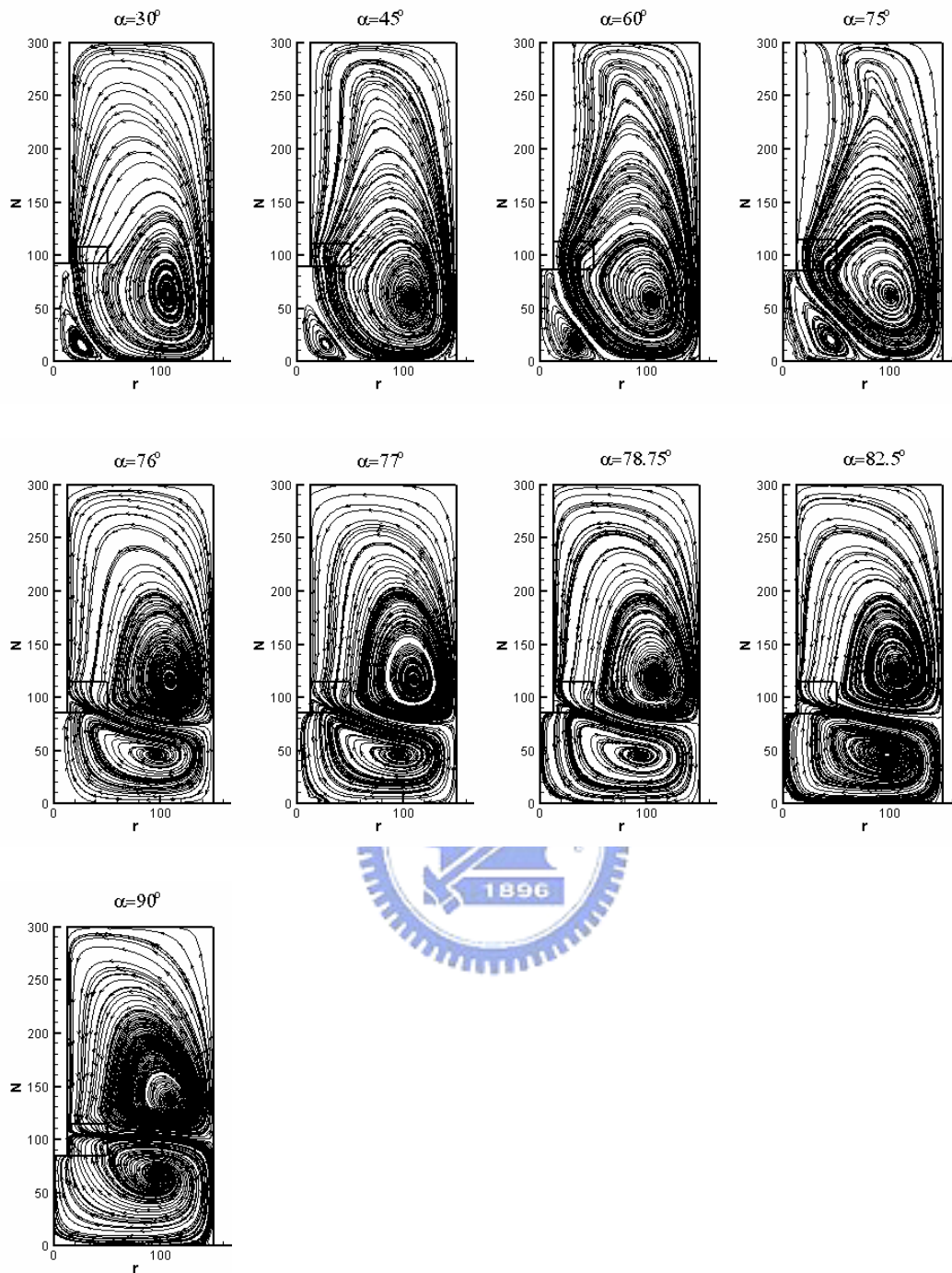


圖 4.5 葉片直徑 $D=T/3$ 和間隙 $C=T/3$ 在不同角度時的流線圖

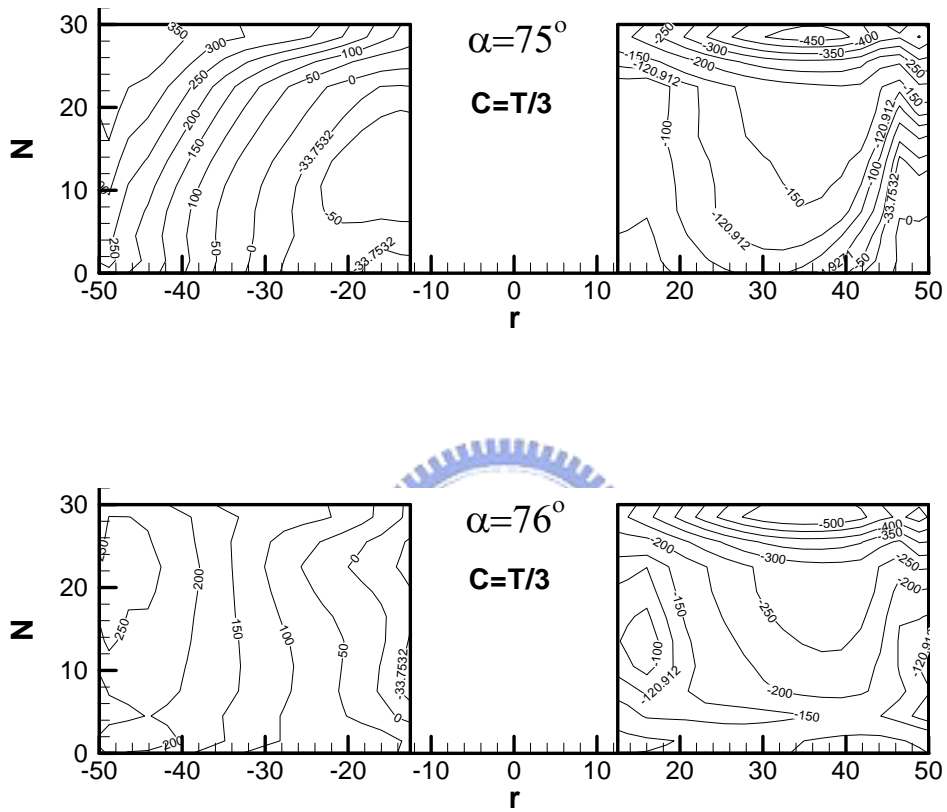


圖 4.6 葉片直徑 $D=T/3$ 和間隙 $C=T/3$ 流場變化最大的兩個角度
葉片上的壓力分佈(左邊葉片為迎風面，右邊葉片為背風面)

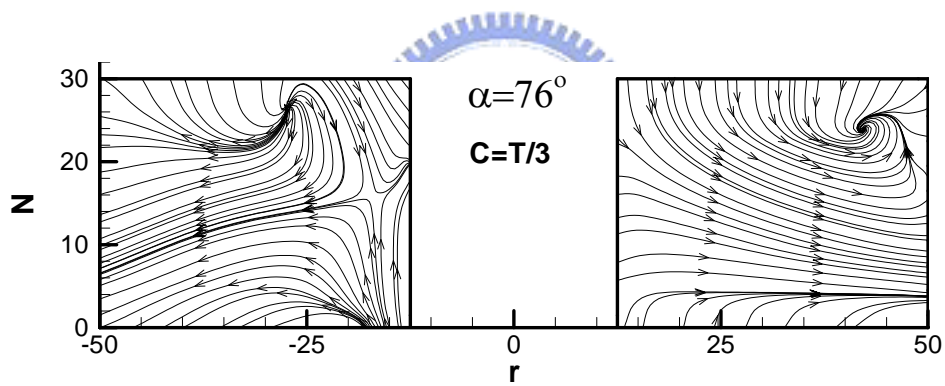
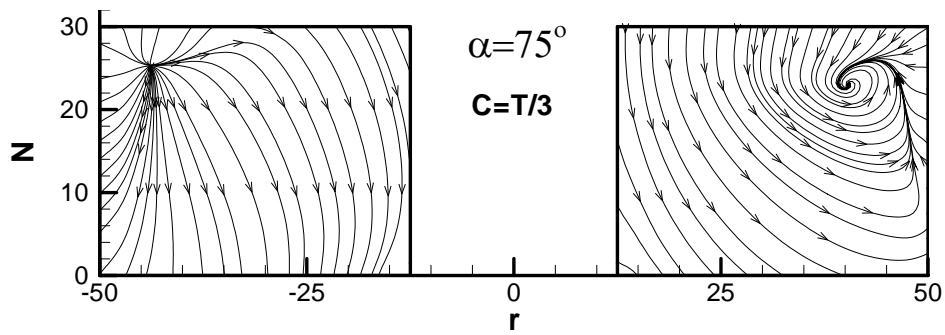


圖 4.7 葉片直徑 $D=T/3$ 和間隙 $C=T/3$ 流場變化最大的兩個角度
平行葉片上的流線圖(左邊葉片為迎風面，右邊葉片為背風面)

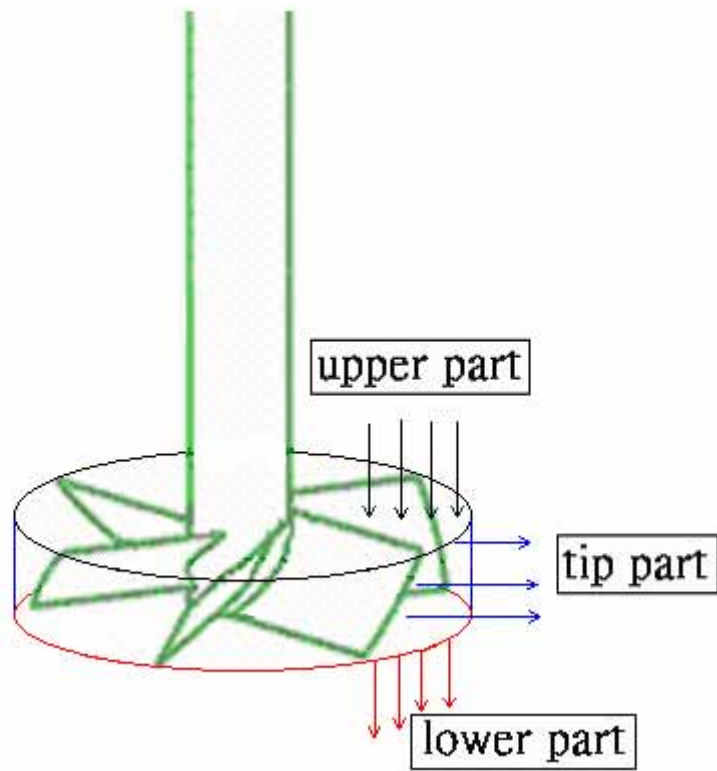


圖 4.8 葉片所掃過的區域

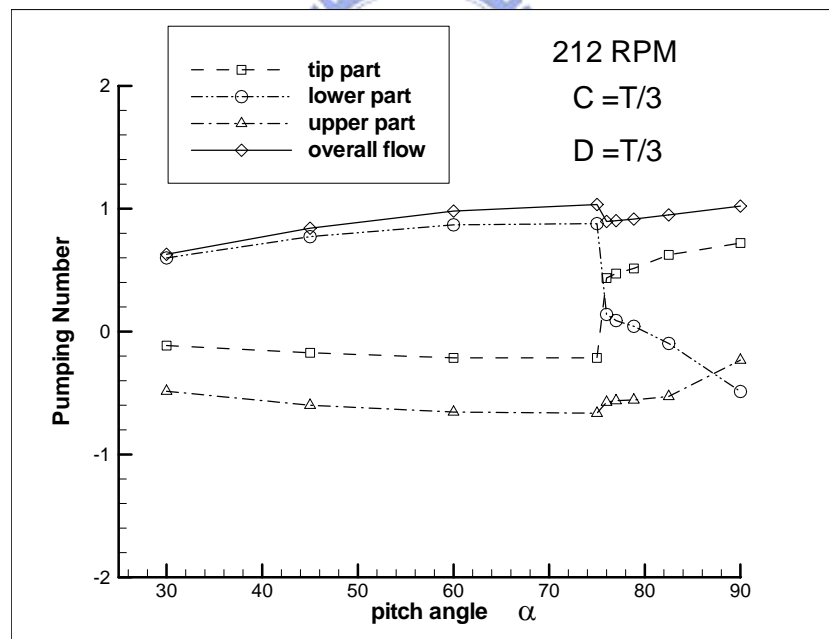
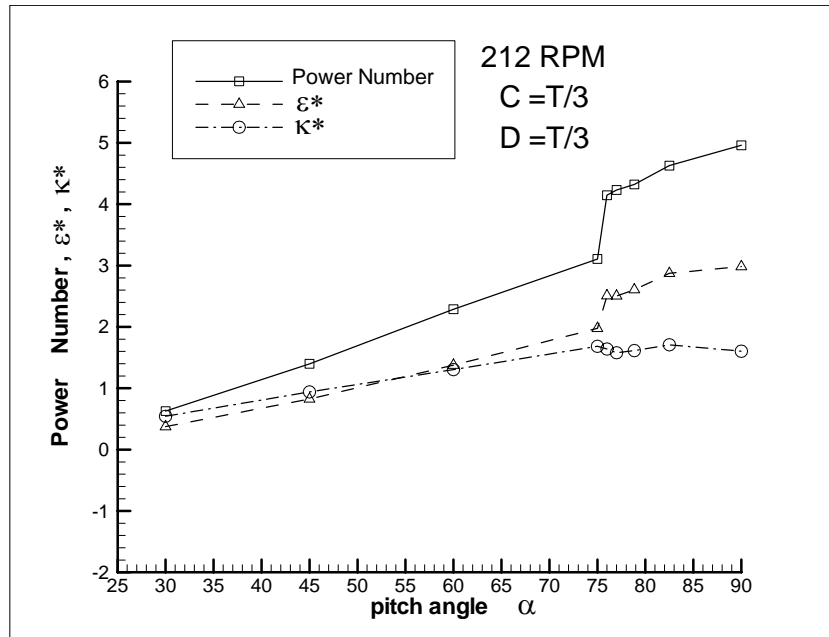


圖 4.9 葉片直徑 $D=T/3$ 和間隙 $C=T/3$ 在不同角度時的功率數與攪拌數

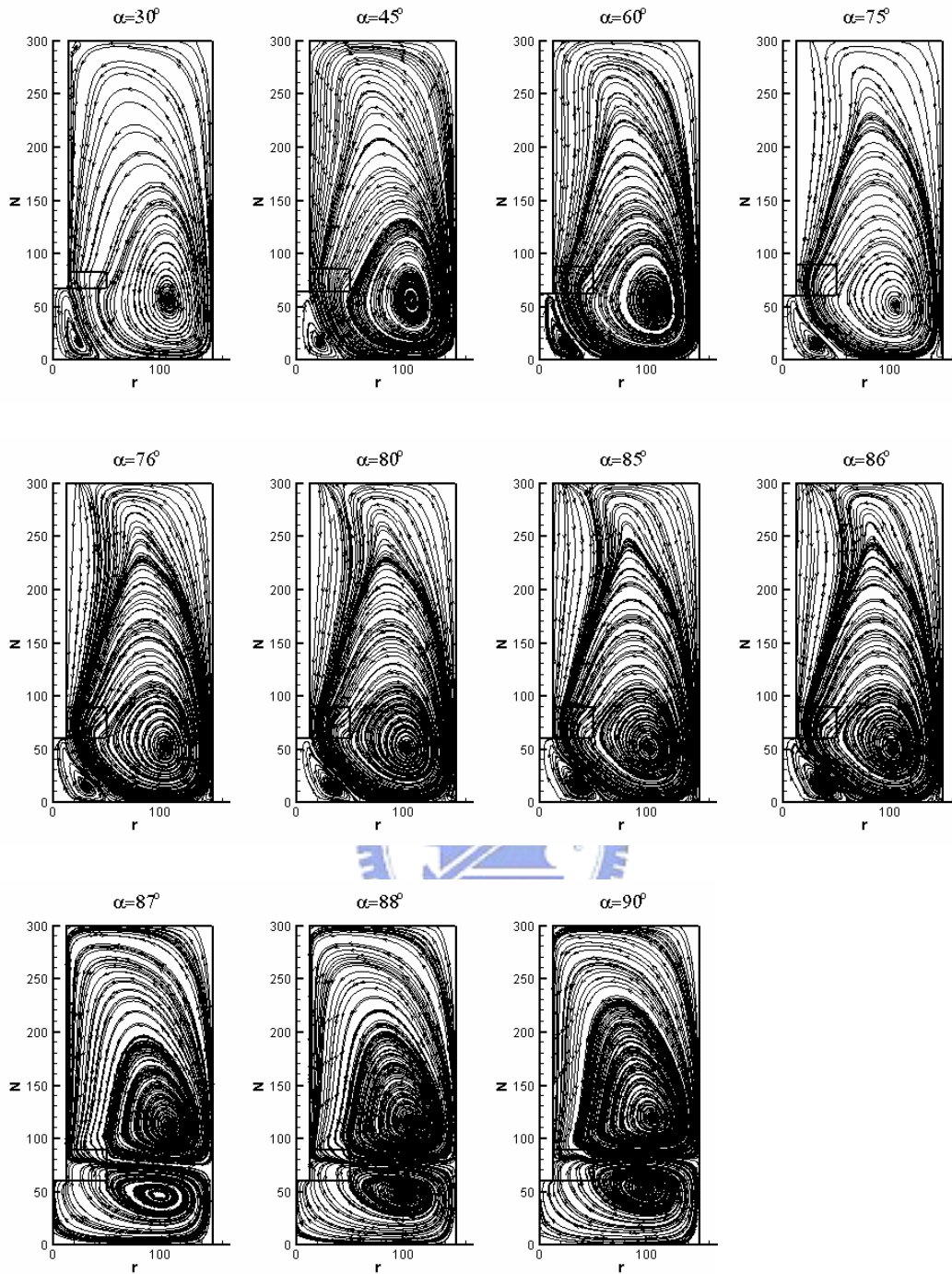


圖 4.10 葉片直徑 $D=T/3$ 和間隙 $C=T/4$ 在不同角度時的流線圖

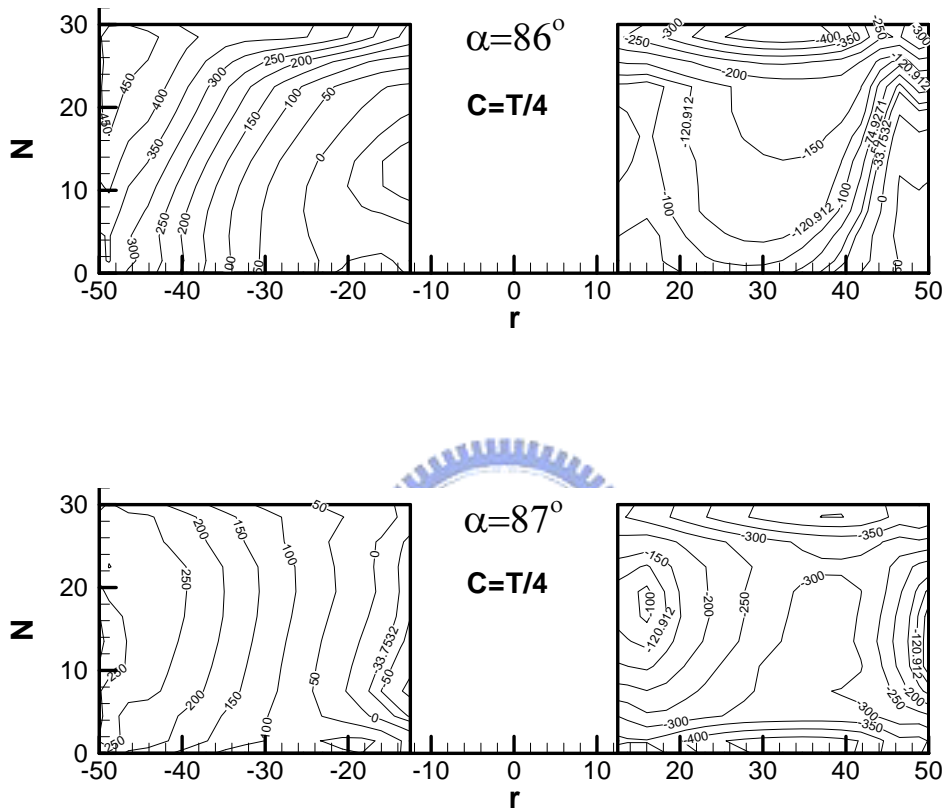


圖 4.11 葉片直徑 $D=T/3$ 和間隙 $C=T/4$ 流場變化最大的兩個角度
葉片上的壓力分佈(左邊葉片為迎風面，右邊葉片為背風面)

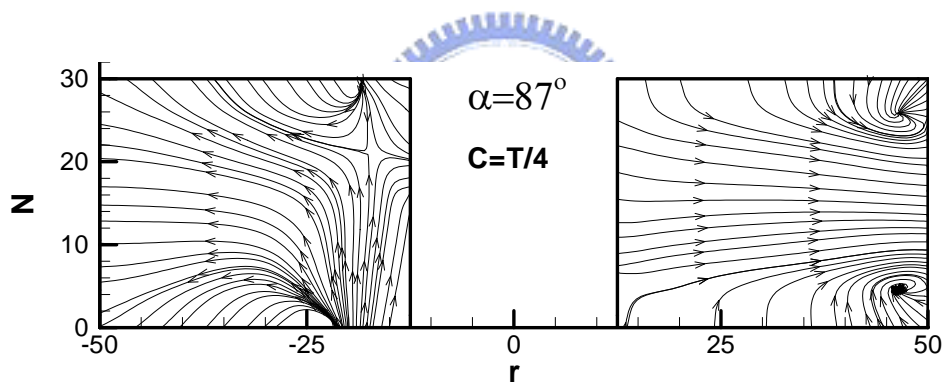
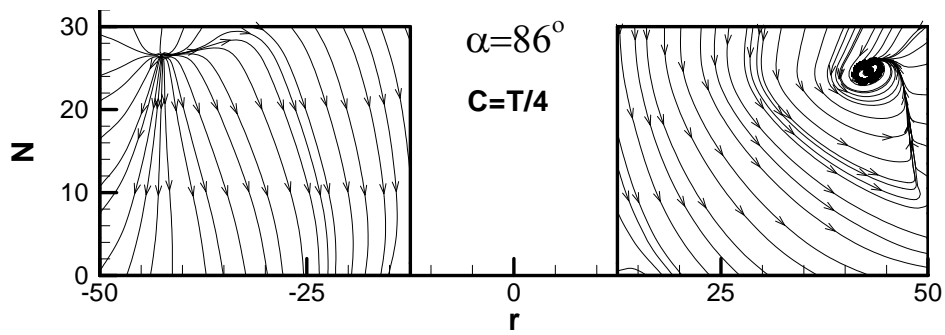


圖 4.12 葉片直徑 $D=T/3$ 和間隙 $C=T/4$ 流場變化最大的兩個角度
平行葉片上的流線圖(左邊葉片為迎風面，右邊葉片為背風面)

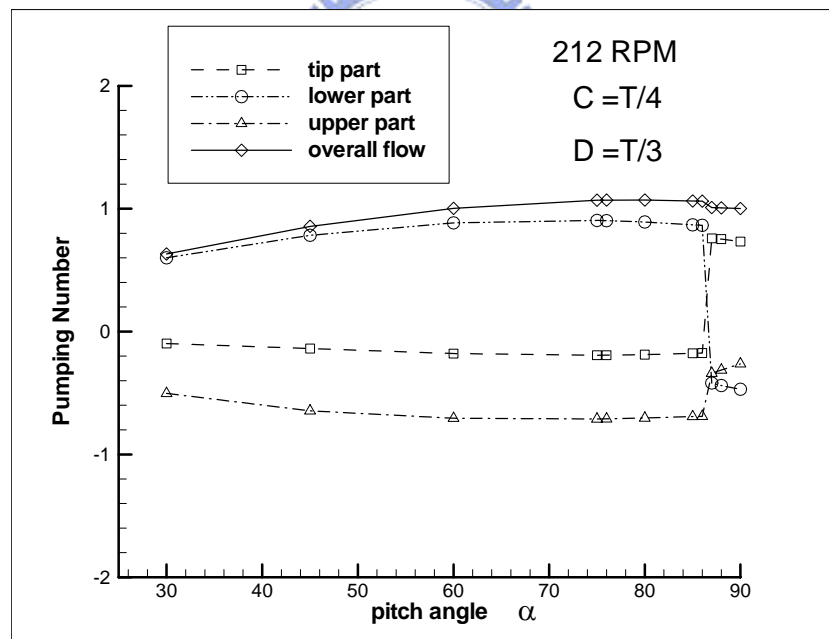
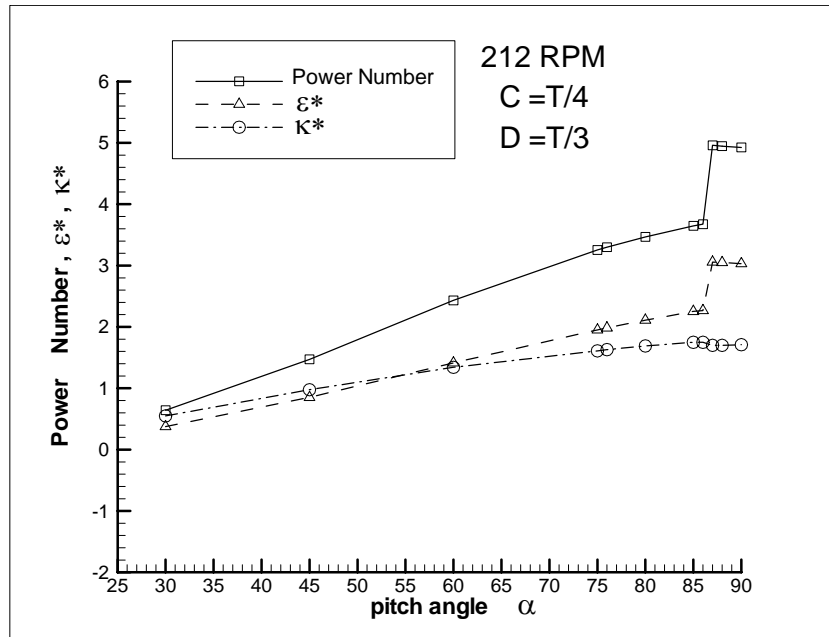


圖 4.13 葉片直徑 $D=T/3$ 和間隙 $C=T/4$ 在不同角度時的功率數與攪拌數

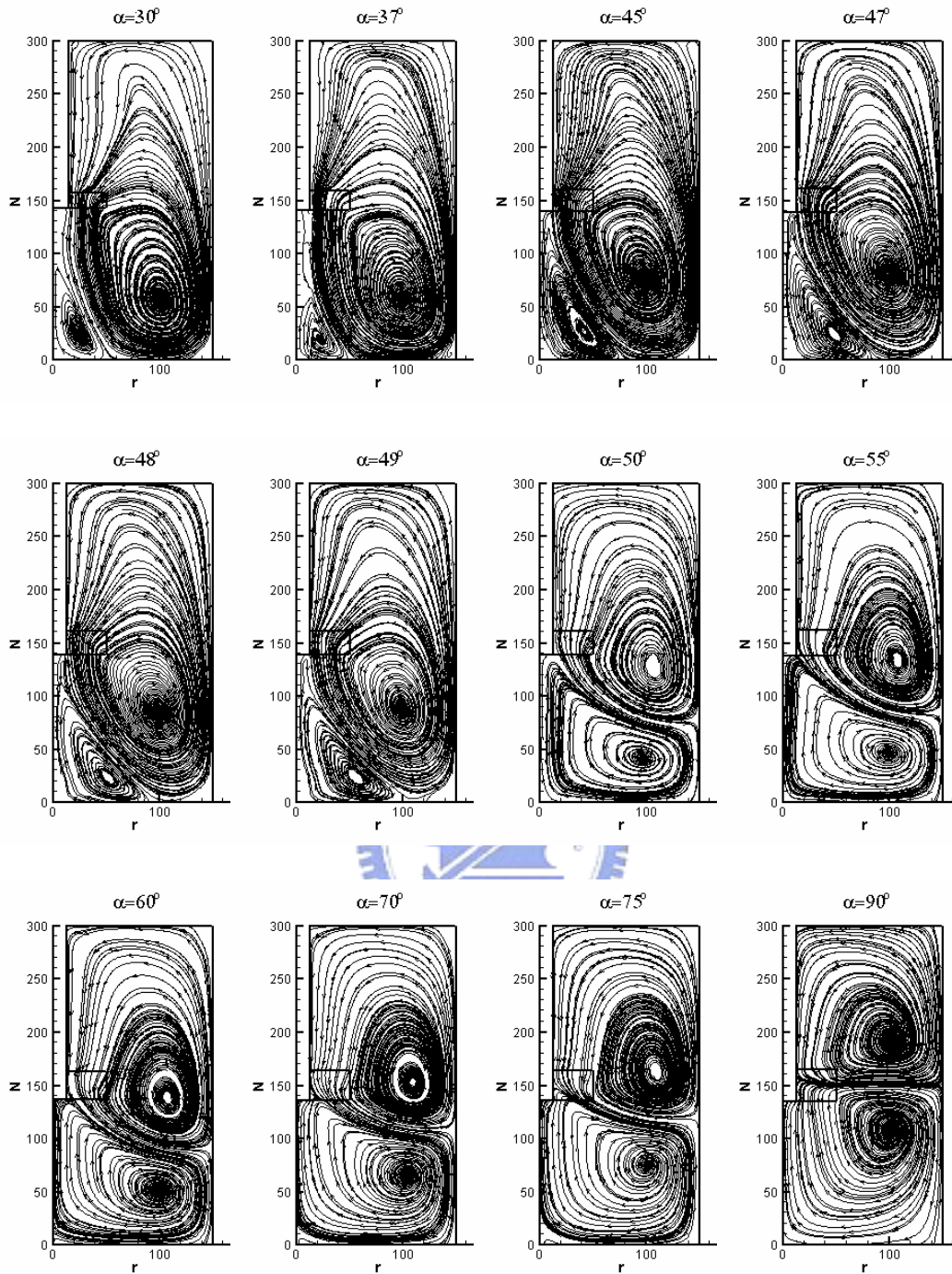


圖 4.14 葉片直徑 $D=T/3$ 和間隙 $C=T/2$ 在不同角度時的流線圖

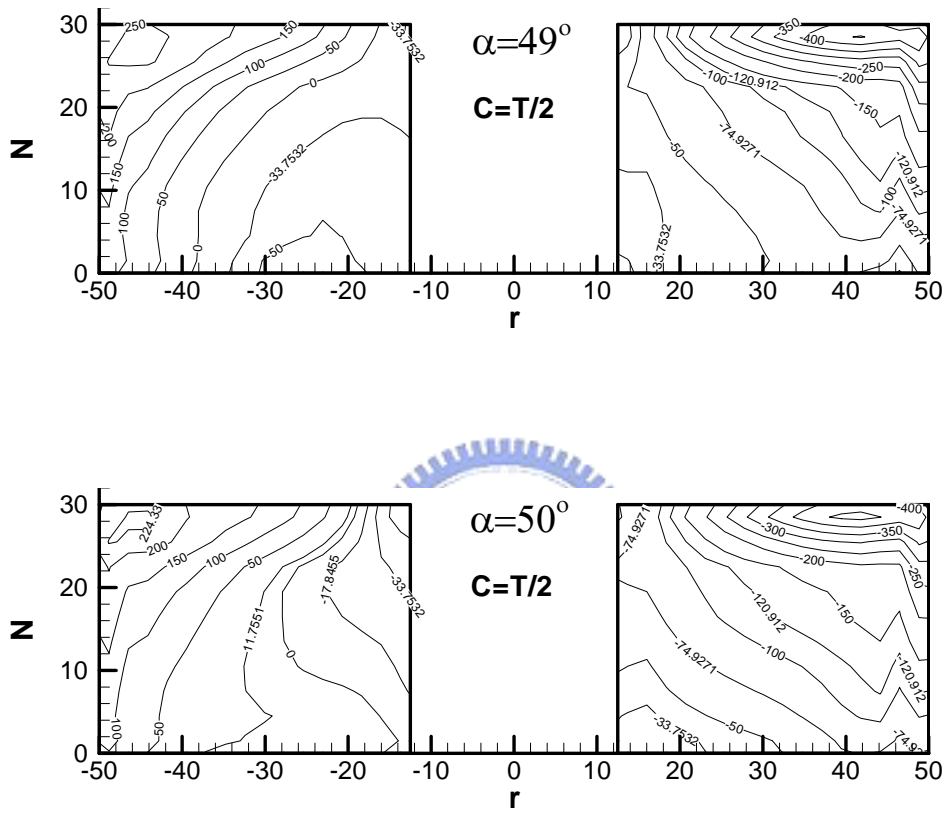


圖 4.15 葉片直徑 $D=T/3$ 和間隙 $C=T/2$ 流場變化最大的兩個角度
葉片上的壓力分佈(左邊葉片為迎風面，右邊葉片為背風面)

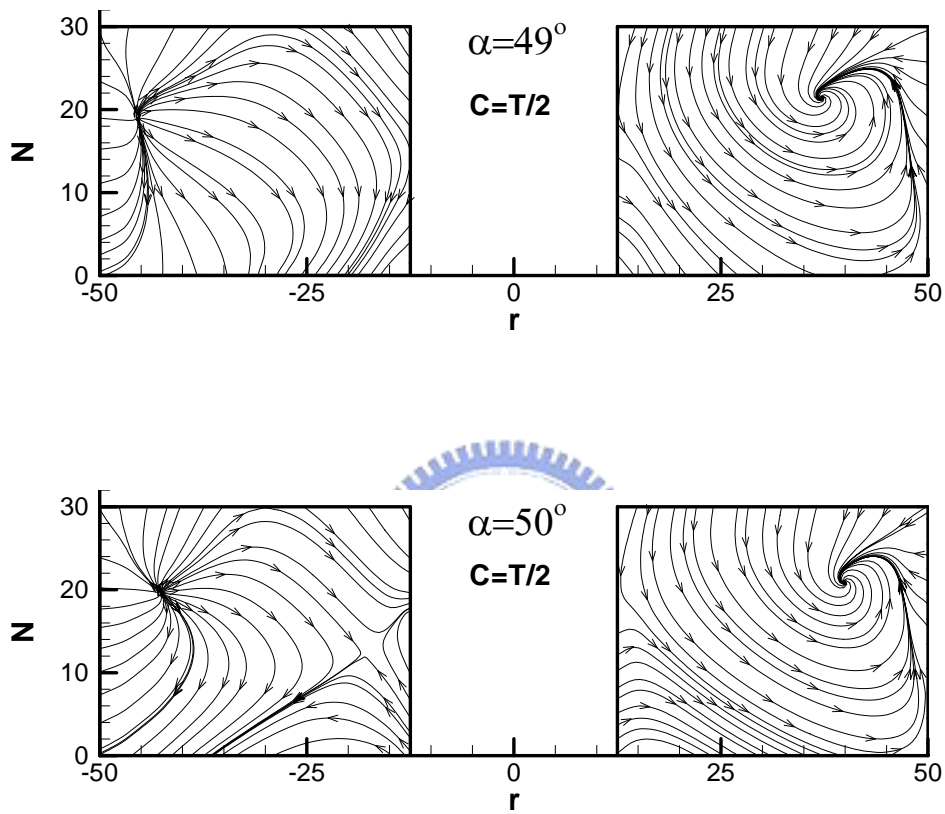


圖 4.16 葉片直徑 $D=T/3$ 和間隙 $C=T/2$ 流場變化最大的兩個角度
 平行葉片上的流線圖(左邊葉片為迎風面，右邊葉片為背風面)

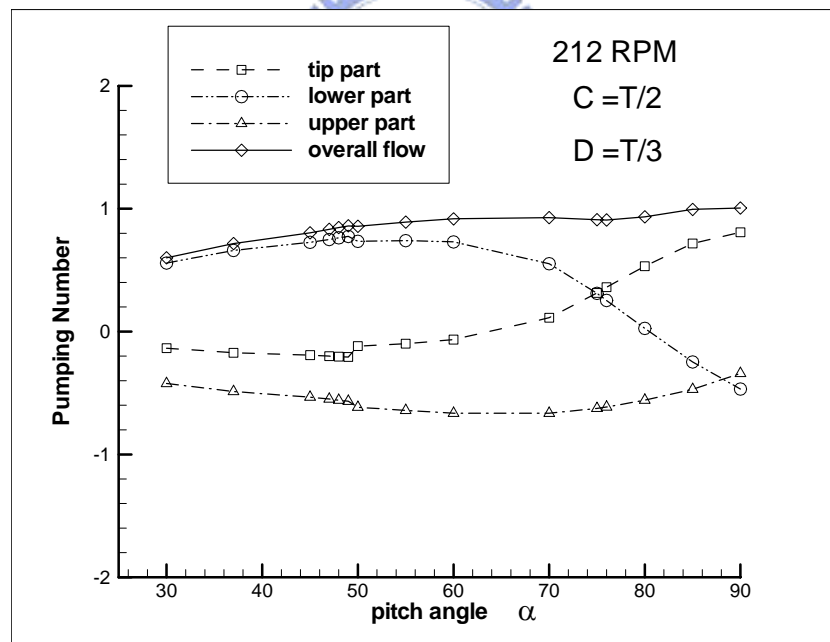
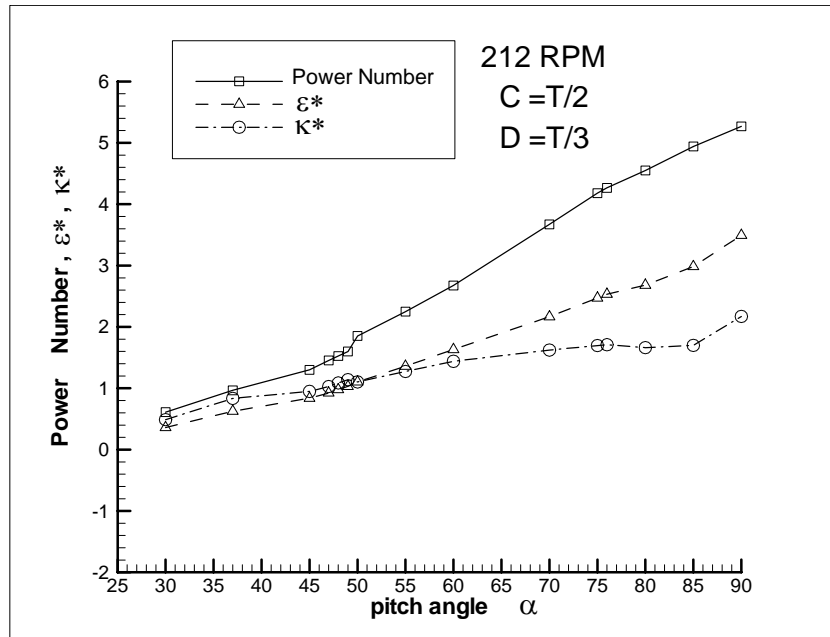


圖 4.17 葉片直徑 $D=T/3$ 和間隙 $C=T/2$ 在不同角度時的功率數與攪拌數

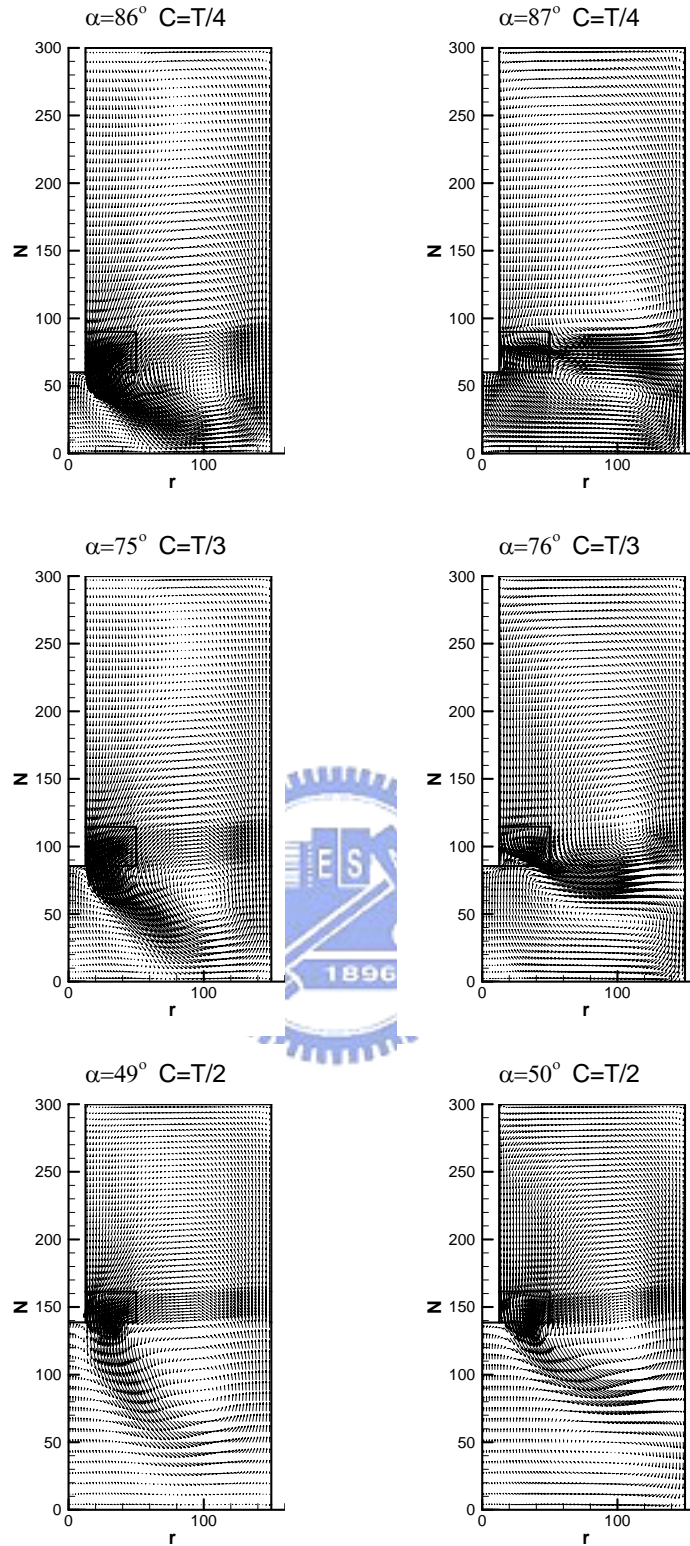


圖 4.18 不同高度時流場變化較大的兩個角度(葉片直徑 $D=T/3$)

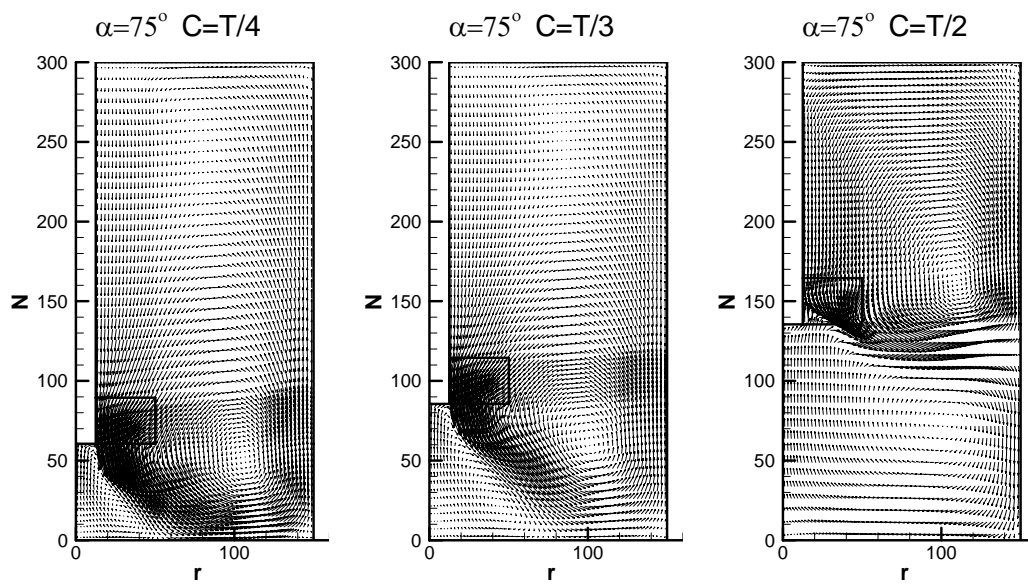


圖 4.19 不同高度的流場變化情形(葉片直徑 $D=T/3$)

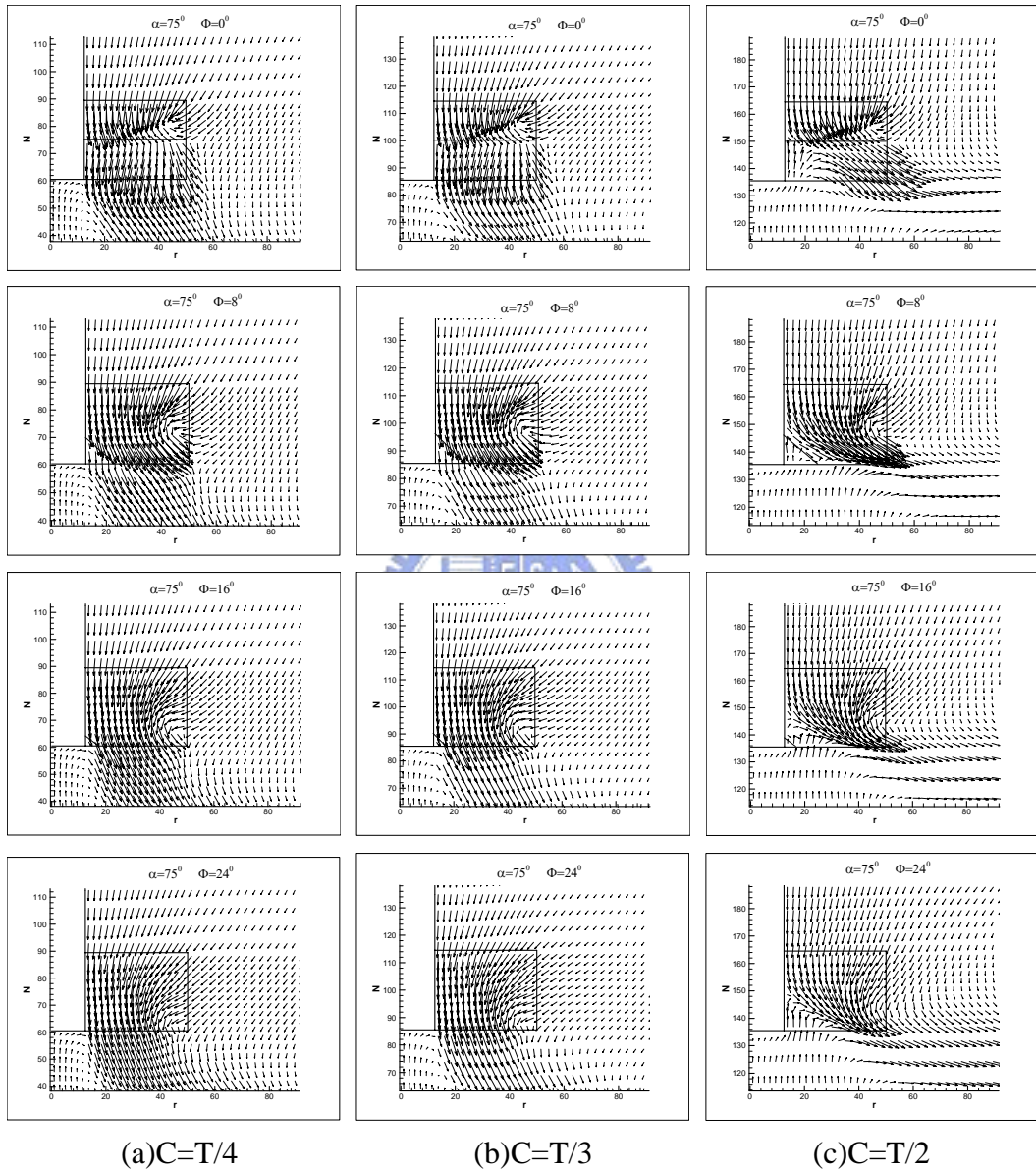
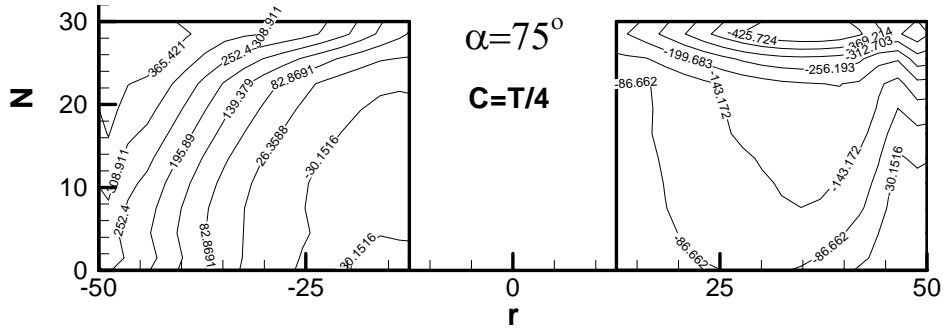
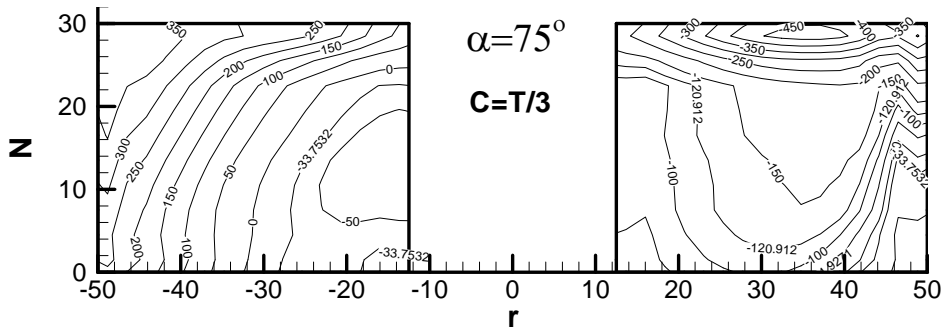


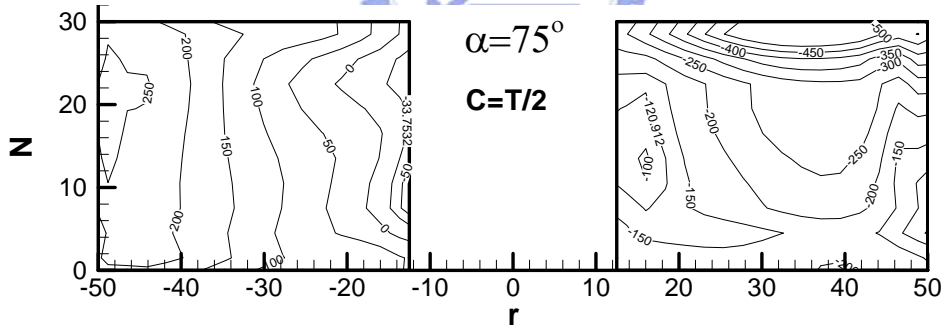
圖 4.20 不同高度時葉片背風面流場變化情形(葉片直徑 $D=T/3$)



(a) $C=T/4$

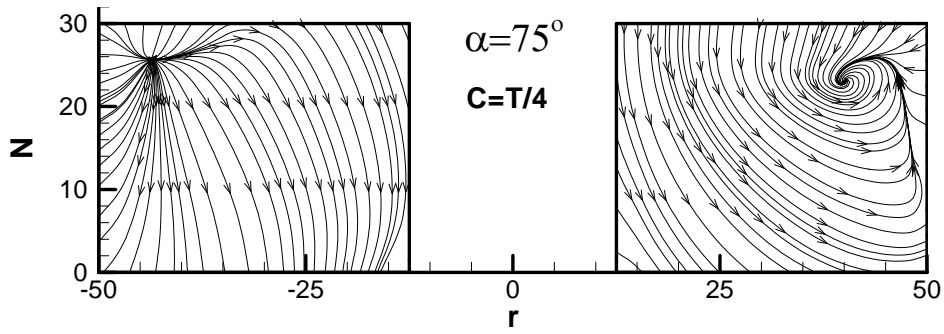


(b) $C=T/3$

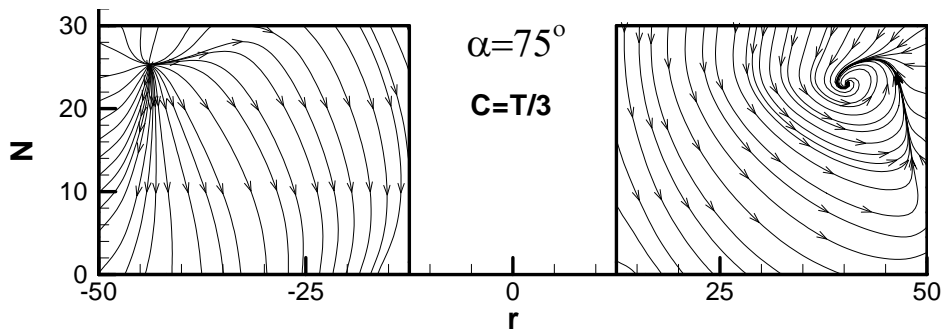


(c) $C=T/2$

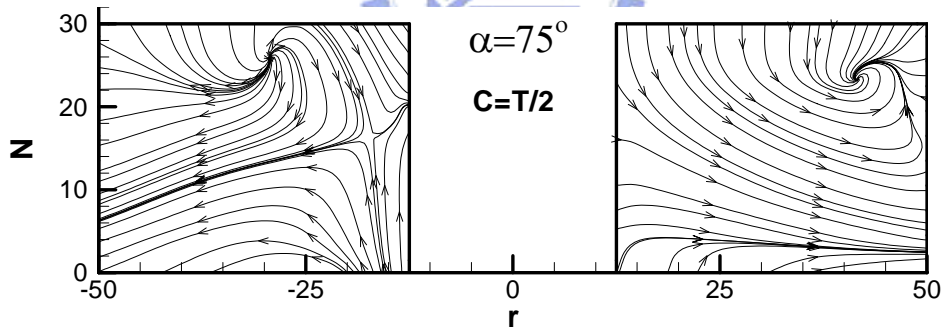
圖 4.21 葉片直徑 $D=T/3$ 在不同高度時葉片上的壓力分佈
(左邊葉片為迎風面，右邊葉片為背風面)



(d) $C=T/4$

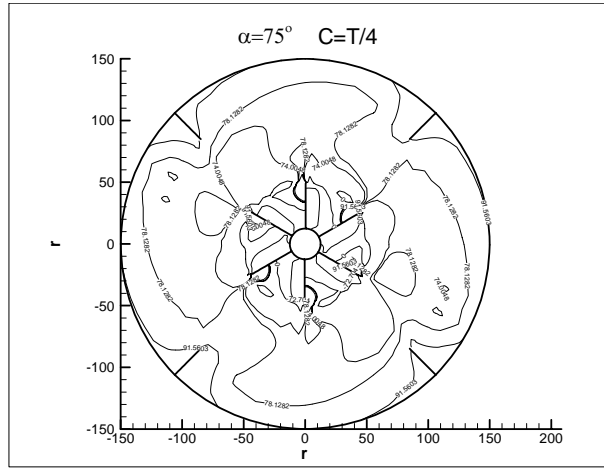


(e) $C=T/3$

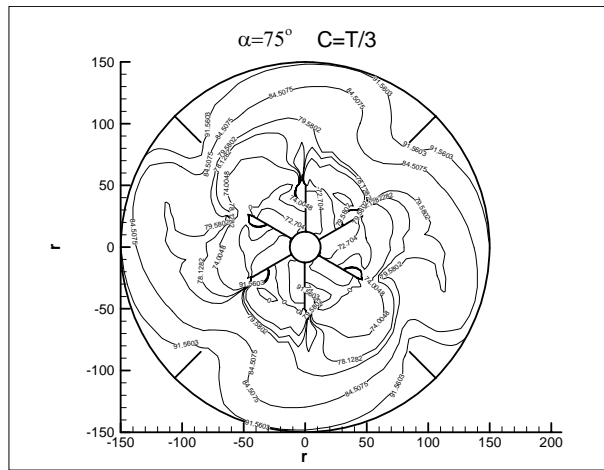


(f) $C=T/2$

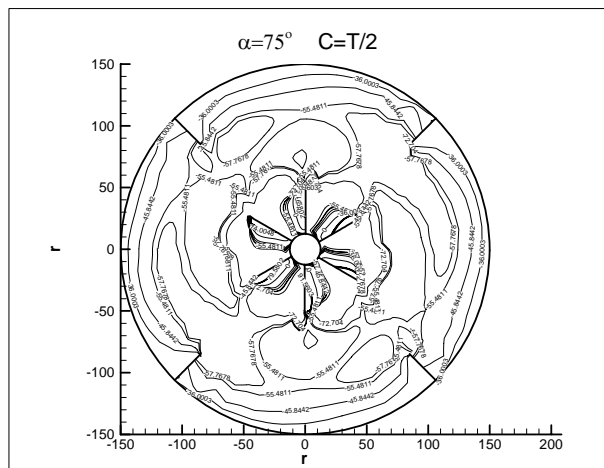
圖 4.22 葉片直徑 $D=T/3$ 在不同高度時平行葉片上的流線圖
(左邊葉片為迎風面，右邊葉片為背風面)



(a) $C=T/4$



(b) $C=T/3$



(c) $C=T/2$

圖 4.23 葉片直徑 $D=T/3$ 在不同葉片中心高度的水平剖面上的壓力分佈圖

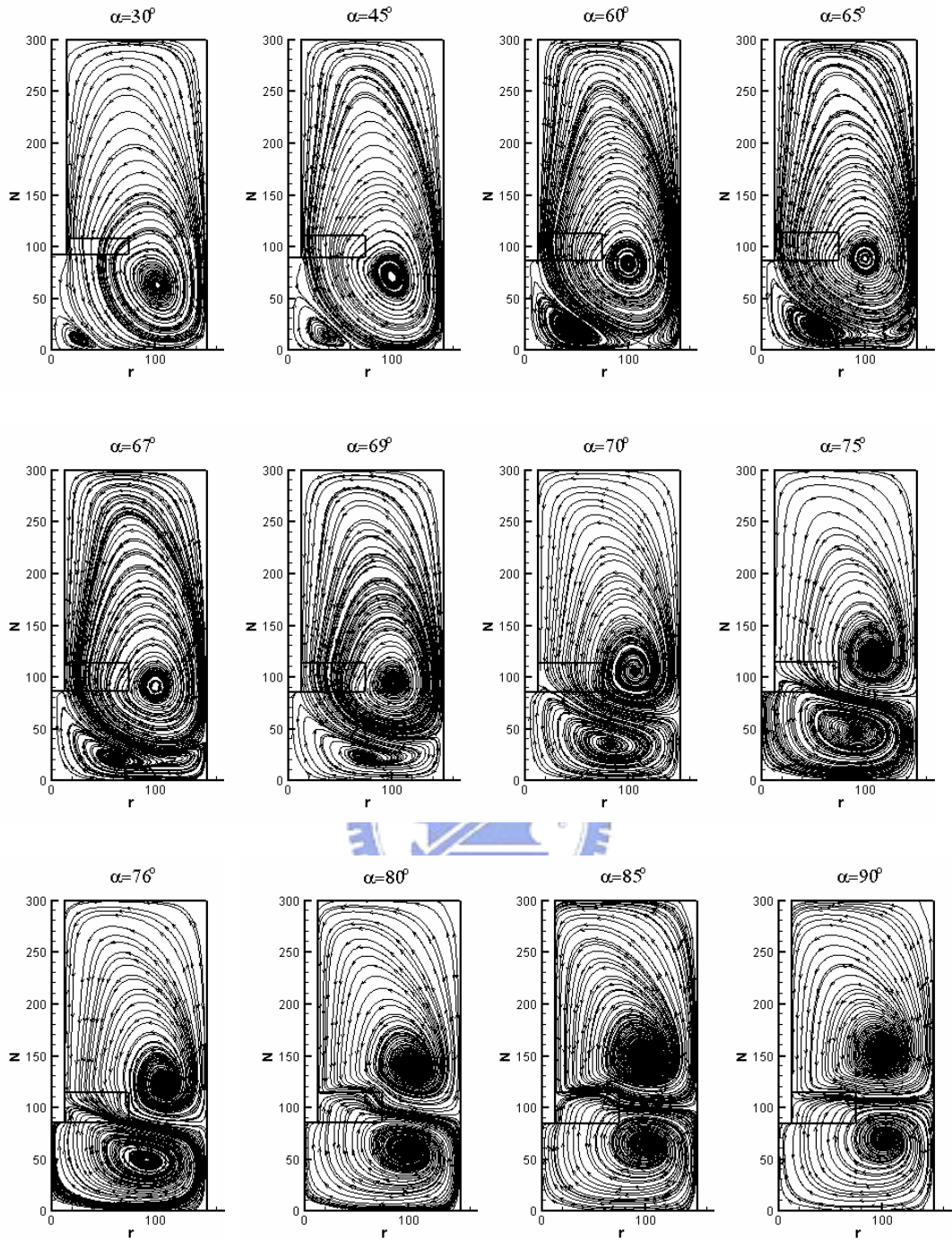


圖 4.24 葉片直徑 $D=T/2$ 和間隙 $C=T/3$ 在不同角度時的流線圖

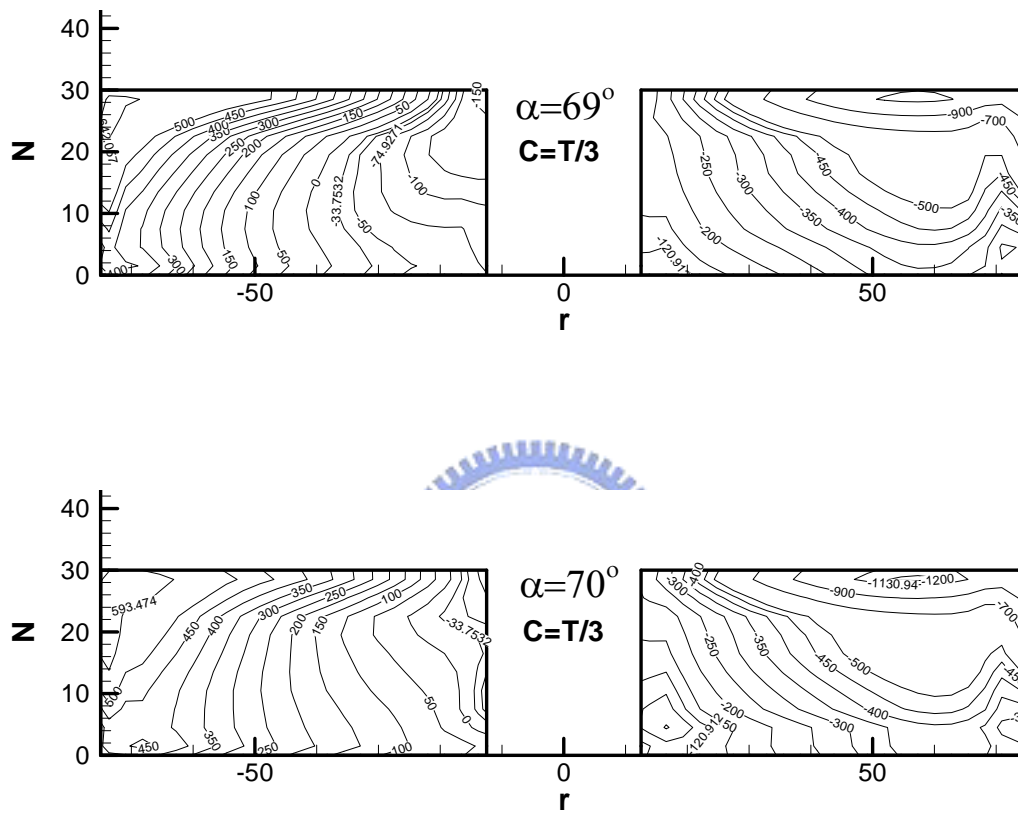


圖 4.25 葉片直徑 $D=T/2$ 和間隙 $C=T/3$ 流場變化最大的兩個角度
葉片上的壓力分佈(左邊葉片為迎風面，右邊葉片為背風面)

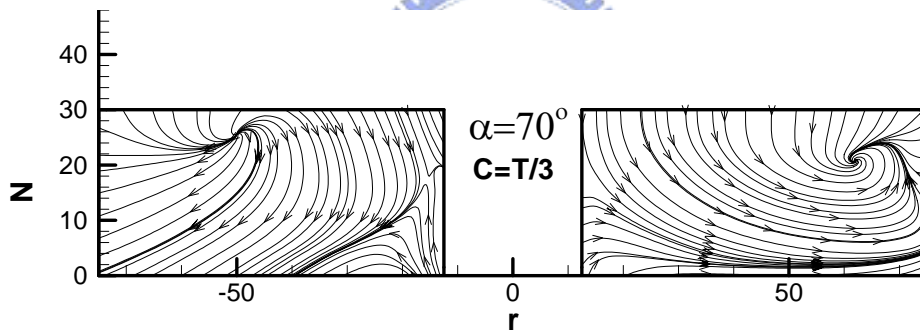
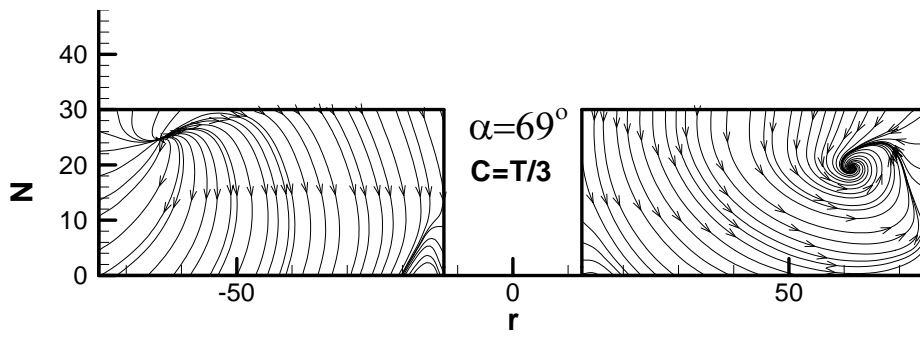


圖 4.26 葉片直徑 $D=T/2$ 和間隙 $C=T/3$ 流場變化最大的兩個角度
平行葉片上的流線圖(左邊葉片為迎風面，右邊葉片為背風面)

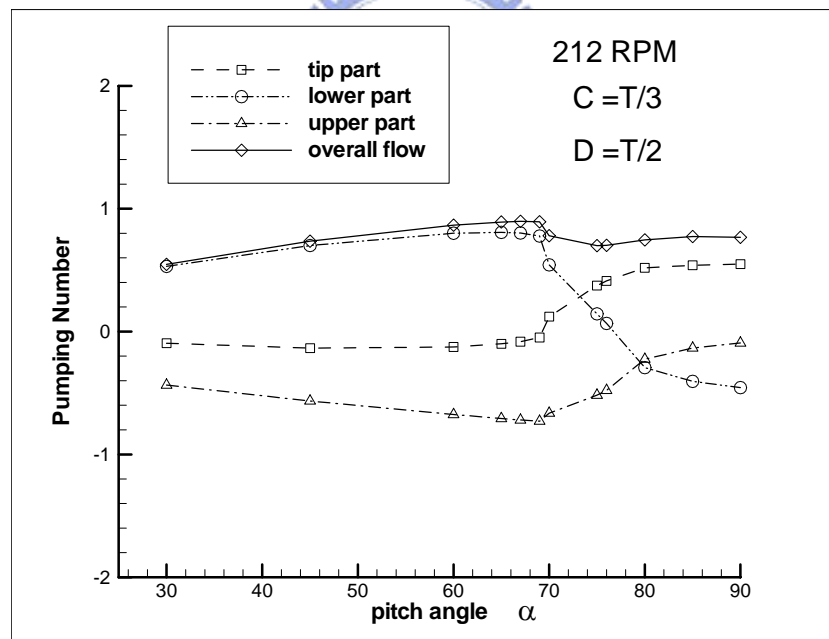
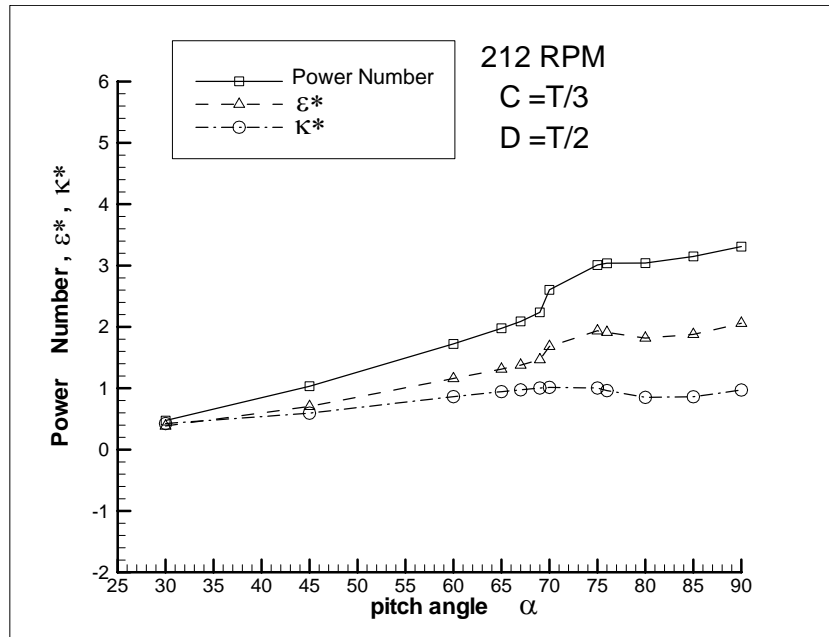


圖 4.27 葉片直徑 $D=T/2$ 和間隙 $C=T/3$ 在不同角度時的功率數與攪拌數

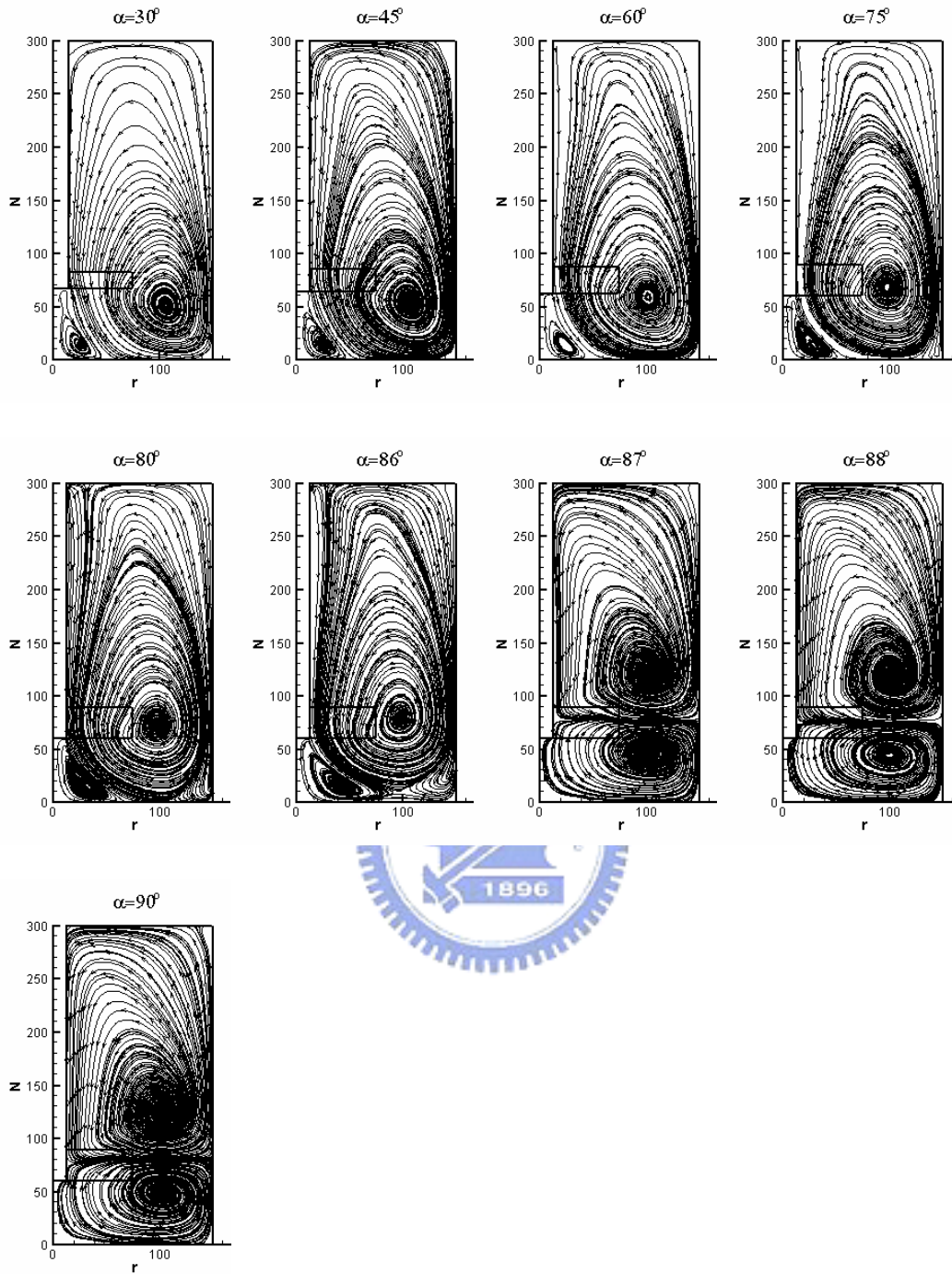


圖 4.28 葉片直徑 $D=T/2$ 和間隙 $C=T/4$ 在不同角度時的流線圖

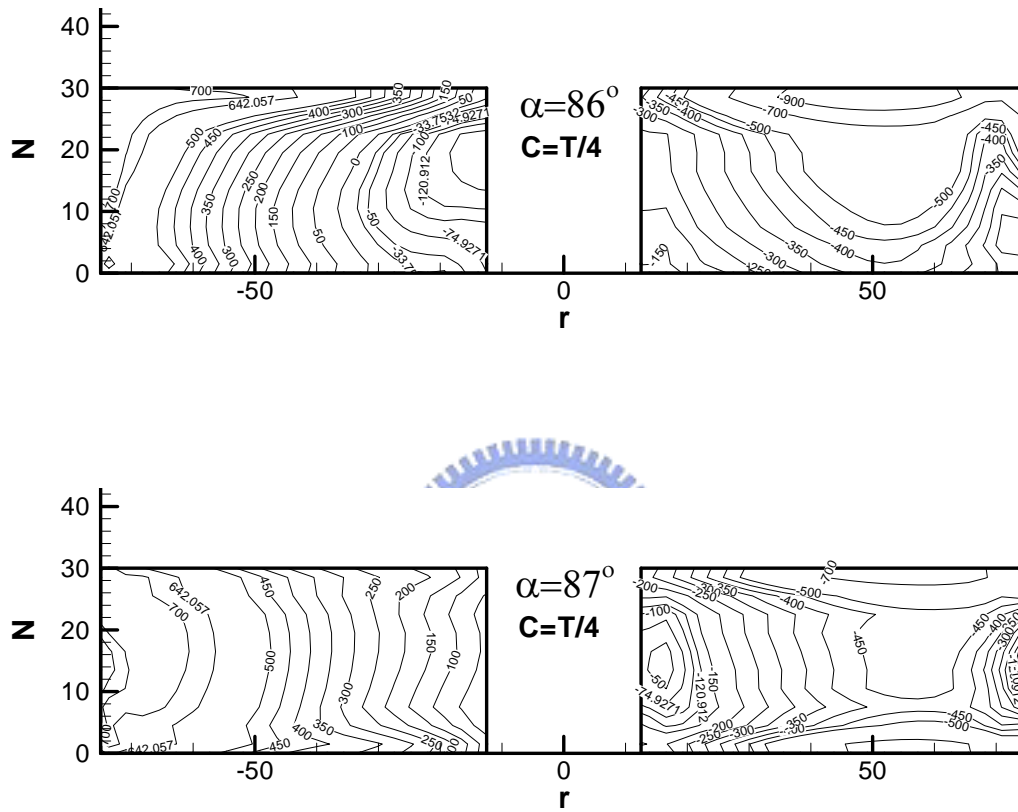


圖 4.29 葉片直徑 $D=T/2$ 和間隙 $C=T/4$ 流場變化最大的兩個角度
葉片上的壓力分佈(左邊葉片為迎風面，右邊葉片為背風面)

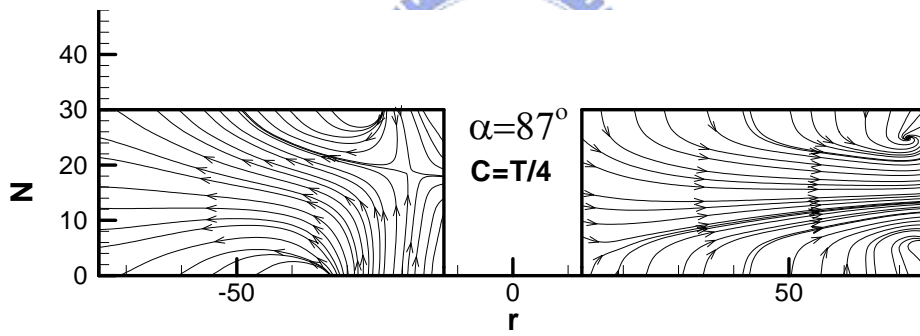
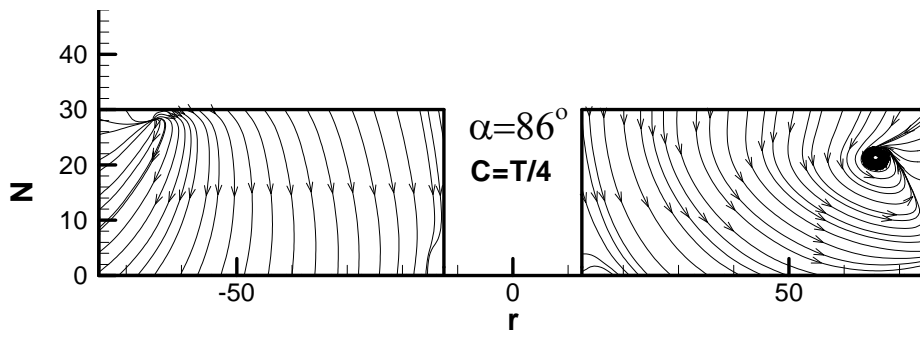


圖 4.30 葉片直徑 $D=T/2$ 和間隙 $C=T/4$ 流場變化最大的兩個角度
 平行葉片上的流線圖(左邊葉片為迎風面，右邊葉片為背風面)